



# سنجش از دور و GIS ایران



سنجش از دور و GIS ایران سال ششم، شماره دوم، تابستان ۱۳۹۳  
Vol. 6, No. 2, Summer 2014 Iranian Remote Sensing & GIS

۱-۱۶

## پیشنهاد روشی برای جایگزینی داده‌های قابشی سنجنده MODIS با استفاده از مدل CRTM تصحیح شده در مقیاس محلی

مجید رحیمزادگان<sup>۱</sup>، محمدرضا مبایشی<sup>۲\*</sup>

۱. دانشجوی دکتری سنجش از دور، دانشگاه صنعتی خواجه نصیرالدین طوسی

۲. دانشیار گروه سنجش از دور، دانشکده مهندسی نقشه‌برداری، دانشگاه صنعتی خواجه نصیرالدین طوسی

تاریخ پذیرش مقاله: ۱۳۹۲/۱۰/۲۴

تاریخ دریافت مقاله: ۱۳۹۱/۱۰/۱۰

### چکیده

در پژوهش حاضر روشی برای جایگزین کردن چگالی‌های شار تصاویر سنجنده MODIS با استفاده از مدل انتقال انرژی مجمع (CRTM) که از مدل‌های حل معادله انتقال انرژی است، ارائه شده است. بدین منظور اندازه‌گیری‌های رادیوساند مربوط به ایستگاه سینوپتیک بندرعباس به همراه چگالی‌های شار اندازه‌گیری شده از تصاویر شب سنجنده MODIS مستقر بر سکوی Aqua برای آب‌های عمیق خلیج فارس مورد استفاده قرار گرفت. بنابراین با استفاده از پیش‌بینی کننده‌های استاندارد نسخه هشتم مدل گذردهی مسیر نوری (OPTRAN) که بخش اصلی مدل CRTM است، اختلاف چگالی‌های شار محاسبه شده به وسیله مدل CRTM و اندازه‌گیری شده به وسیله سنجنده MODIS مدل‌سازی شده است. پس از پیاده‌سازی روش مورد نظر، مقدار میانگین RMSE چگالی‌های شار محاسبه شده از مدل CRTM با مقدار اندازه‌گیری شده برای تصاویر سنجنده MODIS منتخب برای آزمون کارایی روش، در تمام باندها ( $0/47 \text{ W}/(\text{m}^2.\mu\text{m}.sr)$ ) محاسبه شد که با اعمال تصحیحات ارائه شده در پژوهش حاضر به  $0/39$  تغییر یافت. مقدار میانگین RMSE دمای درخشندگی میانگین معادل این چگالی‌های شار نیز به ترتیب  $6/45$  و  $5/27$  درجه کلوین محاسبه گردید. با استفاده از روش ارائه شده در این پژوهش، مقادیر چگالی‌های شار حاصل از مدل CRTM به مقادیر چگالی‌های شار سنجنده MODIS نزدیک‌تر می‌شود. بنابراین می‌توان از این مدل برای ارزیابی چگالی‌های شار سنجنده MODIS استفاده کرد و در مواردی نظری وجود نیز بالا یا وجود ابر در تصاویر یا از کارافتادن سنجنده، داده‌های آن را با داده‌های محاسباتی مدل CRTM تصحیح شده جایگزین کرد.

کلیدواژه‌ها: پروفایل دما، MODIS، CRTM، ماهواره.

\* نویسنده مکاتبه‌کننده: تهران، خیابان ولی‌عصر، تقاطع میرداماد، دانشگاه صنعتی خواجه نصیرالدین طوسی، دانشکده ژئودزی و ژئوماتیک، تلفن: ۹۱۲۱۲۲۶۶۳۰

Email: Mobasher@kntu.ac.ir

**۱- مقدمه**

دسته کلی روش‌های استخراج از طریق رگرسیون‌های آماری و روش‌های فیزیکی دسته‌بندی کرد. روش استخراج رگرسیون‌های آماری دارای مزایای متعددی نظری سادگی، کارایی محاسباتی و استحکام عددی<sup>۳</sup> هستند، اما ضعف اصلی این روش‌ها در نظرنگرفتن ویژگی‌های فیزیکی معادله انتقال انرژی است (Seemann et al., 2003; Seemann et al., 2006). با این حال پس از محاسبه پروفایل‌های جوی از روش رگرسیون، می‌توان به وسیله الگوریتم فیزیکی درون تکرار غیرخطی که بر معادله انتقال انرژی اعمال می‌شود، نتایج را بهبود بخشد (Seemann et al., 2003).

شار انرژی مشاهده شده از طریق ماهواره R را می‌توان به صورت تابعی غیرخطی از پروفایل دمای جوی (T)، پروفایل رطوبت جوی (q)، دمای پوسته سطح (Ts)، گسیلمندی سطح (ε) و دیگر پارامترهای جوی در نظر گرفت (Borbas et al., 2011).

$$R = R(T, q, T_s, \varepsilon, \dots) \quad \text{رابطه (1)}$$

که به صورت کلی چنین است:

$$Y = F(X) \quad \text{رابطه (2)}$$

که در آن، بردار X شامل دمای جوی در L سطح ارتفاعی جو (پروفایل دما، مقدار نسبت آمیزه بخار آب در L سطح ارتفاعی جو (پروفایل رطوبت)، و شامل N دمای سطح و گسیلمندی سطح است. بردار Y شامل N تعداد باندهای استفاده شده) و شار انرژی یا دمای درخشندگی مشاهده شده از طریق ماهواره است. رابطه (2) را می‌توان با استفاده از مشتقات جزئی به صورت Rodgers, 2000; Li et al., 2000؛ رابطه (۳) خطی کرد (Rodgers, 2000):

$$\delta Y = F' \delta X \quad \text{رابطه (3)}$$

که در آن، F' مدل خطی یا تانزانت مدل مستقیم است. F' که به عنوان ماتریس وزن دهی نیز شناخته

امروزه اندازه‌گیری‌های انجام شده از راه دور (سنجدش از دور) یا اندازه‌گیری‌های غیرمستقیم برای دستیابی به اهداف متنوعی استفاده می‌شوند (Rodgers, 2000). علت استفاده از اندازه‌گیری از راه دور این است که اندازه‌گیری‌های مستقیم و میدانی معمولاً دشوار و پرهزینه هستند، هر چند تفسیر اغلب این روش‌های اندازه‌گیری مستلزم حل مسائل پیچیده‌ای است که به عنوان مسئله معکوس<sup>۱</sup> شناخته می‌شوند. جو نمونه‌ای بارز از موضوعاتی است که کاربرد سنجدش از دور در آن مقرر گردید و از روش‌های معکوس در آن استفاده می‌شود (Rodgers, 2000). روش‌های مفهومی و ریاضی بسیاری برای حل مسائل معکوس در موضوعات به کار گرفته شده و بارها به طور مستقل با نام‌ها و اصطلاحات متفاوتی شرح و بسط یافته - که یکی از این حوزه‌ها، حوزه سنجدش از دور جوی است (Rozanov, 2006).

در اندازه‌گیری انجام شده از راه دور، معمولاً کمیت اندازه‌گیری شده کم و بیش تابعی پیچیده از پارامتری است که واقعاً مورد نیاز است (Rodgers, 2000). ویژگی متمایز کننده این اندازه‌گیری‌ها انجام آنها از راه دور نیست، بلکه روش به دست آوردن غیرمستقیم آنهاست (Rozanov, 2006). تئوری معکوس<sup>۲</sup> به معکوس کردن توابع پیچیده بدون توجه به اینکه اندازه‌گیری به صورت فیزیکی از راه دور انجام شده است، می‌پردازد. نمونه رایج کاربرد این تئوری در اندازه‌گیری‌های جوی این است که کمیت اندازه‌گیری شده تابش الکترومغناطیسی دریافت شده از جو باشد در حالی که کمیت مورد نیاز توزیع دما یا اجزای سازنده جو است.

یکی از ورودی‌های مهم مدل‌های پیش‌بینی هواشناسی و اقلیمی، پروفایل‌های دما و رطوبت است که دقت آنها می‌تواند در مدل‌های پیش‌بینی و پیش‌بینی نقش مؤثری داشته باشد. به منظور استخراج پروفایل‌های جوی مانند دما و رطوبت، روش‌های مختلفی مطرح شده است که می‌توان آنها را در دو

- 
1. Inverse Problems
  2. Inverse Theory
  3. Numerical stability

انرژی، با کمینه‌سازی تابع هزینه معرفی شده در رابطه (۴)، روشی درون‌تکرار با استفاده از روش گوس-نیوتون<sup>۴</sup> به کار گرفته می‌شود. در این معادله از مشتق دوم  $F(x)$  صرف‌نظر شده است (Rodgers, 2000; Li et al., 2000). رابطه (۵)

$$x_{i+1} = x_i + \left( K_i^T S_y^{-1} K_i + S_a^{-1} \right)^{-1} \times [K_i^T S_y^{-1} (y_m - y_i) - S_a^{-1} (x_i - x_a)]$$

که در آن،  $i$  شماره تکرار و  $K_i$  ماتریس ژاکوبین یا همان ماتریس تائزانت  $F'$  رابطه (۳) است که در  $x_i$  برآورد شده است. با به کارگیری روش فوق و تعریف یک معیار توقف می‌توان پروفایل‌های اجزای سازنده جو را محاسبه کرد (Marquardt, 1963).

با توجه به مطالب مطرح شده در این بخش، مهم‌ترین موضوع در استفاده از روش فیزیکی، محاسبه تابع تائزانت یا همان ماتریس ژاکوبین است. در محاسبه ماتریس ژاکوبین باید مشتق معادله انتقال انرژی نسبت به پارامترهای جوی محاسبه شود و مقدار این ماتریس برای وضعیت جوی مطلب محاسبه گردد. روش‌های مختلفی برای حل معادله انتقال انرژی معرفی شده که هر یک به صورت کدها یا برنامه‌های کامپیوتری ارائه شده‌اند (Han et al., 2006). با درنظر گرفتن عواملی چون دردسترس‌بودن کدها، به روزشدن محاسبات برای باندهای سنجنده MODIS و کد بازیومن<sup>۵</sup> نرم‌افزار، مدل یا نرم‌افزار CRTM برای محاسبه ماتریس تائزانت یا ژاکوبین در این پژوهش انتخاب شده است.

## ۱-۱-۱ مدل CRTM

مدل انتقال انرژی مجمع<sup>۶</sup> (CRTM) که در مرکز

می‌شود، می‌تواند با استفاده از روش دیفرانسیلی یا روش آشفتگی<sup>۱</sup>، برای اجزای جو-نظیر نسبت آمیزه بخار آب و نسبت آمیزه ازن-محاسبه شود. البته ترجیح این است که یک روش کارآمد و دقیق برای پردازش‌های مربوط به استخراج داده به صورت آنی<sup>۲</sup> به منظور محاسبه تابع وزن‌دهی تعریف شود. این مدل با به کارگیری یک روش تحلیلی کارآمد محاسبه می‌شود (Li, 1994). در واقع اغلب روش‌های فیزیکی به دنبال یافتن راهی بهینه برای محاسبه  $F'$  و استفاده از آن برای دستیابی به پروفایل‌های پارامترهای جوی با دقت بالاتر هستند.

راجرز در سال ۲۰۰۰ بررسی جامعی در مورد برخی روش‌های فیزیکی رایج برای استخراج پروفایل‌های جوی انجام داد (Rodgers, 2000) و نشان داد که در اغلب این روش‌ها می‌توان یک تابع هزینه تعریف کرد و روشی برای کمینه‌سازی آن به کار گرفت. این تابع هزینه می‌تواند غیرخطی باشد و میزان غیرخطی بودن آن به محدوده طیفی اندازه‌گیری، متغیرهای اندازه‌گیری شده و دقت پروفایل حدس اولیه بستگی دارد (Lynch et al., 2009). تابع هزینه مذکور برای حالت‌های غیرخطی کمترین مربعات به شکل رابطه (۴) است (Rodgers, 2000; Li et al., 2000). رابطه (۴)

$$J(x) = [y_m - F(x)]^T S_y^{-1} [y_m - F(x)] + (x - x_a)^T S_a^{-1} (x - x_a)$$

که در آن  $y_m$  بردار اندازه‌گیری (شار دریافتی در سنجنده)،  $x$  بردار وضعیت<sup>۷</sup>  $F(x)$  مدل مستقیم برای تبدیل بردار وضعیت به اندازه‌گیری و  $S_y$  ماتریس خطای اندازه‌گیری، خطای مدل مستقیم و دیگر خطاهای ناشناخته است.  $x_a$  و  $S_a$  نیز به ترتیب بردار زمینه و ماتریس کوواریانس آن هستند که از روش استخراج رگرسیون خطی می‌توان آنها را به دست آورد (Rodgers, 2000; Li et al., 2000).

برای حل معادله انتقال انرژی و به دست آوردن پروفایل‌های جوی از طریق معادلات فیزیکی انتقال

- 
1. Perturbation Method
  2. Real-time
  3. State vector
  4. Gauss-Newton
  5. Open source
  6. Community Radiative Transfer Model

زمین، اقیانوس، بخ و برف برای محدوده‌های طیف مایکروویو و مادون قرمز در نظر گرفته است. چارچوب نرم‌افزاری CRTM به گونه‌ای طراحی شده است که بین کارایی محاسباتی، نگهداری از کد<sup>۳</sup> و انعطاف‌پذیری برای ارتقا و افزایش‌های آتی توازن برقرار کند. کد منبع در زبان برنامه‌نویسی فورترن ۹۵ و تحت سیستم عاملی لینوکس نوشته شده و مدل‌ها و ساختارهای داده استخراج شده برای دستیابی به این اهداف به طور وسیعی مورد استفاده قرار گرفته‌اند.

جزء اصلی مدل CRTM که محاسبات مربوط به گذردهی و تابش جو را محاسبه می‌کند، گذردهی مسیر نوری<sup>۴</sup> (OPTRAN) است. OPTRAN یکی از اجزای اساسی و اصلی مدل CRTM است که برای نخستین بار McMillin and Fleming, (در سال ۱۹۷۶ مطرح شد) و تاکنون پیشرفت‌های بسیاری داشته، به طوری که هشت نسخه ارتقا یافته از این مدل ارائه شده است. به دلیل اهمیت این مدل و استفاده از آن در پژوهش حاضر، در بخش پیش‌رو مرور مختصری بر هریک از نسخه‌های این مدل انجام شده و در موارد لازم، برخی از نسخه‌ها تشریح شده‌اند.

## ۲-۱ مدل OPTRAN

نسخه اولیه این مدل را مک‌میلین و فلمینگ در سال ۱۹۷۶ ارائه کردند (McMillin and Fleming, 1976). مهم‌ترین اصل روش مذکور این بود که در سطح مشخصی از فشار، گذردهی جو برای گازی جذب‌کننده با نسبت آمیزه ثابت فقط با پروفایل دمای جو تغییر می‌کند. در این نسخه مدل گذردهی ساده‌ای با استفاده از اختلاف دما برای تابش تک‌فام ارائه شده و با استفاده از تقریب مقیاس‌گذاری<sup>۵</sup> برای حالت مهم‌تر تابش

مشترک شبیه‌سازی داده ماهواره‌ای<sup>۱</sup> (JCSDA) تهیه شد (Han et al., 2006)، می‌تواند شار تابشی مادون قرمز (IR) و مایکروویو (MW) اندازه‌گیری شده به وسیله سنجنده‌های مستقر در فضای پیما را در وضیت جوی و سطح زمین مشخص شبیه‌سازی کند. این مدل می‌تواند حساسیت‌های شار، مانند مشتقات چگالی شار (زاکوبین) را نسبت به متغیرهای وضعیت محاسبه کند. افزون بر این CRTM می‌تواند برای دیگر کاربردهای شار ماهواره‌ای از قبیل معکوس‌کردن داده چگالی شار برای محاسبه بردار وضعیت – که در آنها به محاسبه سریع و دقیق شار IR و MW نیاز است – به کار رود. علاوه بر این، در مدل مذکور سنجنده‌های مختلفی از جمله سنجنده MODIS پشتیبانی می‌شوند.

یکی از اولویت‌های تحقیقاتی JCSDA، بهبود مدل‌سازی شار ماهواره‌ای است که با استفاده از آن بتوان اندازه‌گیری‌های ماهواره‌ای را در هر شرایط آب و هوایی به منظور پیش‌بینی عددی هوا<sup>۶</sup> (NWP) به کار برد. هدف مهم دیگر مدل CRTM، طراحی چارچوبی به منظور ساده‌سازی استفاده از الگوریتم‌های کاربردی برای گروه‌های تحقیقاتی و پژوهشگران و نیز آزمایش و ارزیابی آن در محیط واقعی و درنتیجه تبدیل سریع کارهای پژوهشی به کاربردهای عملی است. مدل‌های پیشین استفاده شده در JCSDA همگی بر مبنای شار تابش بودند و در شرایط آسمان صاف Kleepies et al., (امکان استفاده از آنها وجود داشت) (2004). همچنین در آنها هیچ جزئی برای محاسبه گسیلمندی و بازتابندگی سطح در نظر گرفته نشده بود. نرم‌افزار مذکور همچنین انعطاف‌پذیری کافی برای افزودن توابع اضافی را به منظور برآورده کردن نیازمندی‌های توسعه‌ای نداشت. مدل CRTM در مقایسه با مدل‌های پیشین در هر دو جنبه نرم‌افزاری و علمی بهبود یافته است. این مدل جذب و پراکنش انواع گوناگون بخار آب و هوایزها را در نظر گرفته است. همچنین در این مدل سری جامع مدل‌های گوناگون برای درنظر گرفتن گسیلمندی و بازتابندگی در سطوح

- 
1. Joint Center for Satellite Data Assimilation
  2. Numerical Weather Prediction
  3. Code maintenance
  4. Optical Path TRANsmittance
  5. Scaling Approximations

## پیشنهاد روشی برای جایگزینی داده‌های تابشی سنجنده در مقیاس محلی

نسخه‌های قبلی این مدل برای هر لایه جذب‌کننده، یک نسبت گذردهی محاسبه می‌شد که به روش درون‌یابی بسیار حساس بود. در این نسخه از مدل، به جای استفاده از نسبت گذردهی‌ها، ضریب جذب مؤثر با استفاده از رابطه (۶) برآورد می‌شود.

$$\hat{k}(A_i) = \sum_{j=1}^N C_{ij} Z_{ij} \quad (6)$$

که در آن،  $N$  تعداد کلی پیش‌بینی‌کننده‌ها،  $C_{ij}$  ضریب رگرسیون برای پیش‌بینی‌کننده زد راستح  $i$  و  $Z_{ij}$  پیش‌بینی‌کننده زام در سطح  $i$  است. ضریب جذب  $k(A)$  به صورت رابطه (۷) با گذردهی  $\tau$  مرتبط است:

$$k(A) = -\frac{d}{dA} (\ln \tau) \quad (7)$$

مقادیر  $k(A)$  در بازه  $A_{tot} \leq A \leq A_0$  محاسبه می‌شوند که در آن  $A_{tot}$  مقدار کلی جذب‌کننده در طول مسیر مورب از ماهواره تا سطح زمین است. با توجه به رابطه (۷) ملاحظه می‌شود که تابع  $k(A)$  به آهستگی و نرمی در جو تغییر می‌کند و برخلاف نسبت گذردهی‌ها می‌تواند به وسیله داده‌هایی که در فواصل نامنظم قرار گرفته‌اند، تقریب زده شود. در این روش می‌توان به جای استفاده از تفاضل پروفایل‌های مقادیر دما، رطوبت و ازن از یک پروفایل ثابت، از خود این مقدار در محاسبه پیش‌بینی‌کننده‌ها استفاده کرد. این روش اصلاح شده ضمن آنکه ساده‌تر است، آزمایش‌ها نیز نشان می‌دهند که در یکدوازدهم زمان روش OPTRAN نسخه قبلی McMillin et al., 1995b با دقت یکسان اجرا می‌شود.

نسخه ششم این مدل را کلیسپایز و همکاران در سال ۲۰۰۴ ارائه کردند (Kleespies et al., 2004). در این نسخه پیش‌بینی‌کننده‌ها بسط یافته‌اند و روشی عملی برای انتخاب پیش‌بینی‌کننده‌ها ایجاد شده است. نسخه مذکور از لحاظ محاسباتی کارآمدتر است و ضرایب رگرسیون از سطوح جذب‌کننده به سطوح فشاری درون‌یابی می‌شود و سپس ضرایب جذب و گذردهی محاسبه می‌شود. سرعت محاسبات این روش

چندفam بسط داده شده است. از آنجاکه این الگوریتم فقط به عملگرهای حسابی نیاز دارد، محاسبه گذردهی‌ها برای پروفایل دمای دلخواه، کاملاً ساده، دقیق و از لحاظ محاسباتی سریع است. اختلاف گذردهی‌های محاسبه شده به وسیله این الگوریتم با محاسبات روش خطبه خط در حد ۰/۰۳۱ (بدون واحد) است (McMillin and Fleming, 1976).

نسخه دوم مربوط به این مدل را مکمیلین و Fleming در سال ۱۹۷۷ ارائه کردند (McMillin and Fleming, 1977). بهبود این نسخه در مقایسه با نسخه قبلی، درنظر گرفتن زاویه زنیتی در محاسبات مربوط به گذردهی است. گذردهی‌های حاصل از این روش برای زاویه‌های زنیتی در بازه ۰ تا ۴۰ درجه، با محاسبات خطبه خط حداقل تا ۰/۰۳۸ (بدون واحد) اختلاف داشت.

نسخه سوم این مدل را مکمیلین و همکاران در سال ۱۹۷۹ ارائه کردند (McMillin et al., 1979). در این نسخه، روشی برای محاسبه گذردهی‌های جوی برای گازهای جاذب با نسبت آمیزه متغیر ارائه شد. گذردهی‌های به دست آمده از این روش با محاسبات خطبه خط RMS اختلافی به اندازه ۰/۰۱۸ داشت.

نسخه چهارم این مدل که برای نخستین بار با نام گذردهی مسیر نوری (OPTRAN) شناخته شد، در سال ۱۹۹۵ از سوی مکمیلین و همکاران ارائه شد (McMillin et al., 1995a). ویژگی مهم این نسخه از مدل OPTRAN آن بود که گذردهی به جای محاسبه در فشارهای مختلف، به صورت تابعی از مقدار جذب‌کننده به دست آمد (McMillin et al., 1995a). نتایج به دست آمده از این روش نشان داد که مدل مذکور می‌تواند گذردهی‌هایی تولید کند که با استفاده از آن در محاسبه دمای درخشندگی، دقیقی بیش از ۰/۲ کلوین به دست آید، که بیش از ۱۰ بار دقیق‌تر از روش‌های معمول در آن زمان بود.

نسخه پنجم این مدل را در سال ۱۹۹۵ مکمیلین و همکاران ارائه کردند (McMillin et al., 1995b). در

کانولوشن<sup>۵</sup> گذردهی تکفام ( $T(v)$ ) در تابع پاسخ طیفی کاتال مورد نظر ( $\phi(v)$ ) تعریف می‌شود.

$$T_{ch} = \int_{\Delta v} T(v) \phi(v) dv \quad (8)$$

این محاسبات اکنون به وسیله روش ارائه شده در نسخه پنجم این مدل انجام می‌شود (McMillin et al., 1995b). نسخه هشتم مدل OPTRAN که با نام Compact OPTRAN معروفی شده است (این نسخه به دلیل کارایی بالای آن در استفاده از حافظه کامپیوتر به این نام شناخته می‌شود)، ساختارهای قائم پروفایل‌های ژاکوبین را با مقید کردن تغییرات ضرایب رگرسیون گذردهی بین سطوح قائم مختلف، بهبود بخشید. این مدل را نخستین بار Yoshikiko Tahara<sup>۶</sup> در سال‌های ۲۰۰۲ و ۲۰۰۳ مطرح کرد (Chen et al., 2010). این مدل تاکنون به صورت رسمی در مقالات منتشر نشده و توضیحات مربوط به آن در ادامه ارائه شده است.

اگر ( $v$ ) و ( $T_w$ ) به ترتیب گذردهی‌های تکفام بخار آب و ازن باشند و ( $T_d$ ) گذردهی گاز خشک (که ترکیب تمام گازهای جذب‌کننده به جز بخار آب و ازن است) باشد، گذردهی کلی تکفام می‌تواند به صورت حاصل‌ضرب این اجزا بیان شود.

$$T(v) = T_w(v) T_o(v) T_d(v) \quad (9)$$

برای سادگی، نمایش دهنده بخار آب، ازن و گاز خشک و ( $T_{ch,i}(A_i)$ ) گذردهی مربوط به یکی از این سه جزء است.  $A_i$  نشان دهنده مقدار جذب‌کننده از فضای یک سطح فشاری مشخص است. بنابراین گذردهی کاتال به صورت رابطه (۱۰) تعریف می‌شود.

- 
1. Jacobian-K-matrix
  2. High-Resolution Infrared Radiation Sounders
  3. Atmospheric Infrared Sounder
  4. Gaseous absorption model
  5. Convolution
  6. Yoshikiko Tahara

در مقایسه با نسخه قبلی در حد ۱۲ درصد بهبود نشان می‌دهد (Kleespies et al., 2004). از دیگر مزایای این نسخه از مدل OPTRAN در مقایسه با نسخه‌های قبلی، محاسبه ضرایب برای محدوده وسیعی از ماهواره‌ها و سنجنده‌هاست. بزرگ‌ترین پیشرفت ایجاد شده در نسخه OPTRAN مذکور، وجود ماتریس  $k$ -ژاکوبین<sup>۷</sup> مدل OPTRAN است (Kleespies et al., 2004). همان‌طور که در بخش‌های قبل در مورد استخراج پروفایل‌های آماری از روش‌های فیزیکی بیان شد، محاسبه این ماتریس برای پیاده‌سازی روش‌های فیزیکی اهمیت زیادی دارد و پس از ارائه این نسخه، محاسبه ماتریس ژاکوبین برای ترکیبات سازنده جو ممکن گردید.

نسخه هفتم این مدل در سال ۲۰۰۶ از سوی McMillin و همکاران ارائه شد (McMillin et al., 2006). دو پیشرفت مهم ایجاد شده در این نسخه، تغییر فضای جذب‌کننده استفاده شده برای از نو اضافه کردن پیش‌بینی‌کننده‌های جدید برای هر گاز است. در این نسخه پیش‌بینی‌کننده‌ها از ۱۵ پیش‌بینی‌کننده به ۱۸ پیش‌بینی‌کننده در هر لایه جو رسیده و از میانگین‌های وزن دار استفاده شده است. این نسخه روی داده‌های پروفایل‌گیر تابش مادون قرمز با قدرت تفکیک بالا (HIRS<sup>۸</sup>) و پروفایل‌گیر مادون قرمز جوی (AIRS<sup>۹</sup>) پیاده‌سازی گردید و بهبود دقت بالایی صورت گرفت. نتایج ارائه شده در این نسخه بسط‌یافته روشی است که مکملین و چیانگ در سال ۲۰۰۵ ارائه کردند (Xiong et al., 2005) که در آن برای بهبود دقت، از یک جمله تصحیح چندفامی به جای مفهوم گذردهی مؤثر استفاده شده است.

نسخه هشتم مدل OPTRAN را CRTM ارائه کرده است (Han et al., 2006) و اکنون در نرم‌افزار CRTM از آن استفاده می‌شود. مهم‌ترین جزء مدل CRTM، مدل جذب گازی<sup>۱۰</sup> است که محاسبات اصلی به وسیله آن انجام می‌شود. مدل جذب گاز چندفامی در این نسخه با محاسبه گذردهی کاتال (باند) از یک لایه جوی به فضای  $T_{ch}$  شروع می‌شود و این گذردهی به صورت

$$\text{رابطه (13)} \\ u_m^{(s_i)}(A_i) = \frac{1}{A_i^m} \sum_{j=1}^m A_j^{i-1} u_j \Delta A_j \quad i = 1, 2, 3$$

ضرایب گذردهی  $a_{i,j,n}$  در رابطه (12) از طریق

فرایند پردازش با استفاده از مجموعه داده آماری، که در آن پیش‌بینی‌کننده و پیش‌بینی‌شونده از مجموعه‌ای پروفایل جوی متنوع محاسبه شده‌اند، به دست می‌آید. لازم به توضیح است که برای جزء گاز خشک، پروفایل نسبت آمیزه بین وضعیت‌های جوی مختلف تغییر نمی‌کند (McMillin et al., 2006; Han et al., 2006).

استفاده از توابع چندجمله‌ای در رابطه (12) برای ضرایب رگرسیون رابطه (11) یکی از ویژگی‌های منحصر به فرد OPTRAN Compact است. این مورد می‌تواند به عنوان استفاده از توابع چندجمله‌ای برای مقید کردن شکل ضرایب پروفایل‌های قائم در نظر گرفته شود. درنتیجه از ساختارهای دندانه‌دنده اغیر واقعی پروفایل‌های ژاکوبین که ممکن است در الگوریتم‌های گذردهی سریع بدون قید - به خصوص برای کانال‌های با باند جذب گازی ضعیف اتفاق بیفتد - پرهیز می‌شود. مزیت دیگر این الگوریتم، به ویژه برای سنجنده‌های ابرطیفی، تعداد کم ضرایب رگرسیون لازم برای محاسبه پروفایل گذردهی مربوط به یک کانال و جزء گاز مشخص است. در مقایسه با نسخه‌های قبلی، که به سری متفاوتی از ضرایب برای هر سطح پروفایل نیاز دارند، compact OPTRAN فقط تعداد کمی از ضرایب مورد استفاده در این الگوریتم‌ها را به کار می‌گیرد، که موجب صرفه‌جویی زیادی در حافظه استفاده شده کامپیوتر می‌شود.

$$\text{رابطه (10)} \\ T_{ch,i}(A_i) = e^{-\int_0^{A_i} k_{ch,i}(A'_i) dA'_i} \quad \text{که در آن}$$

$$\text{رابطه (11)} \\ \ln(k_{ch,i}(A_i)) = c_{i,0}(A_i) + \sum_{j=1}^6 a_{i,j}(A_i) x_{i,j}(A_i)$$

در رابطه (11)،  $(A_i)$  ضریب جذب کانال و  $\ln(0)$  لگاریتم طبیعی است. پیش‌بینی‌کننده‌های  $(A_i)$  برای ( $j=1, \dots, 6$ ) توابعی از متغیرهای وضعیت جوی هستند و  $(A_i)$  توابع چندجمله‌ای از  $A_i$  به شکل رابطه (12) است.

$$\text{رابطه (12)} \\ a_{i,j}(A_i) = \sum_{n=0}^N a_{i,j,n} \ln(A_i)^n$$

که در آن  $a_{i,j,n}$  ضرایب رگرسیون هستند. سری ۶ پیش‌بینی‌کننده استفاده شده در رابطه (11) بین کانال‌های مختلف تغییر می‌کند و از میان مجموعه‌ای از ۲۹ پیش‌بینی‌کننده که در جدول ۱ ارائه شده‌اند، انتخاب می‌شود. در جدول ۱،  $T$  نشان‌دهنده دما،  $P$  نشان‌دهنده فشار و  $Q$  نشان‌دهنده نسبت آمیزه بخار آب است. مجموعه پیش‌بینی‌کننده‌ها شامل ۱۱ پیش‌بینی‌کننده استاندارد است، که مختص هیچ‌یک از سه جزء پیش‌بینی‌کننده نیست و ۱۸ پیش‌بینی‌کننده یکپارچه<sup>۲</sup> را شامل می‌شود، که به سه زیرمجموعه که هریک متعلق به یک جزء گذردهی خاص است، تقسیم می‌شود. اگر  $u$  نشان‌دهنده فشار جوی  $P$  یا دمای  $T$  باشد، پیش‌بینی‌کننده‌های یکپارچه برای جزء  $m$  به شکل رابطه (13) بیان می‌شوند.

- 
1. Polynomial
  2. Integrated Predictors

جدول ۱. پیش‌بینی کننده‌های استاندارد و یکپارچه

پیش‌بینی کننده‌های استاندارد				پیش‌بینی کننده‌های یکپارچه					
۱	T	V	$TP^2$	۱	$T_w^*$	V	$T_o^*$	۱۳	$T_d^*$
۲	P	A	$T^2 P^2$	۲	$T_w^{**}$	A	$T_o^{**}$	۱۴	$T_d^{**}$
۳	$T^2$	۹	$\sqrt{P}$	۳	$T_w^{***}$	۹	$T_o^{***}$	۱۵	$T_d^{***}$
۴	$P^2$	۱۰	Q	۴	$P_w^*$	۱۰	$P_o^*$	۱۶	$P_d^*$
۵	TP	۱۱	$Q/T^2$	۵	$P_w^{**}$	۱۱	$P_o^{**}$	۱۷	$P_d^{**}$
۶	$T^2 P$			۶	$P_w^{***}$	۱۲	$P_o^{***}$	۱۸	$P_d^{***}$

پوشش جهانی تقریباً روزانه MODIS آن را قادر به مشاهده جو زمین و پایش پیوسته تغییرات آن از جمله ساختار دمایی و رطوبت جو کرده است. هدف از استخراج بخار آب جو و توزیع دما به وسیله MODIS این است که دانش ما را در مورد نقشی که انرژی و فرایندهای چرخه آب در تعیین آب و هوای اقلیم زمین ایفا می‌کنند، افزایش دهد (Seemann et al., 2006). مزایای عمدۀ MODIS که آن را برای استخراج توزیع دما و رطوبت جو مناسب می‌سازد، اینها هستند:

۱. دارابودن ترکیبی از باندهای طیفی مادون قرمز موج کوتاه و موج بلند ( $0.405 / 0.405 \mu\text{m}$ ) مناسب برای پروفایل گیری؛ و
۲. دارابودن قدرت تفکیک مکانی بالا (۱ km در پاسو) مناسب برای کاربردهای هواشناسی (Seemann et al., 2003)

1. Monitoring
2. Moderate Resolution Imaging Spectroradiometer
3. Earth Observing System
4. National Aeronautics and Space Administration
5. Scanning
6. Visible
7. Near-infrared
8. Thermal InfraRed

### ۳-۱- ویژگی‌ها و کاربردهای جوی سنجنده MODIS

مدل‌های اقلیمی و آب و هوایی نیازمند پایش<sup>۱</sup> دقیق رطوبت و دمای جو و نیز ردیابی گازها و هوایزها هستند (Seemann et al., 2006). پایش پیوسته تغییرات پارامترها در مقیاس جهانی با استفاده از امکانات موجود در سال‌های گذشته دشوار بود. اسپکترورادیومتر تصویربردار با قدرت تفکیک متوسط<sup>۲</sup> (MODIS) فرصت جدیدی را برای بهبود پایش جهانی دما، رطوبت و ازن و تغییرات آنها فراهم کرد (King et al., 1992) به وسیله سامانه مشاهده زمین<sup>۳</sup> (EOS) متعلق به سازمان ملی هواشنردی و فضایی امریکا<sup>۴</sup> (NASA) مستقر بر سکوهای Terra و Aqua به ترتیب در ۱۸ دسامبر ۱۹۹۹ و ۴ می ۲۰۰۲ به فضا فرستاده شد. این دستگاه یک اسپکترورادیومتر پویشگر<sup>۵</sup> با ۳۶ باند طیفی در محدوده‌های مرئی<sup>۶</sup> (VIS)، مادون قرمز نزدیک<sup>۷</sup> (NIR) تا مادون قرمز حرارتی<sup>۸</sup> (TIR) بین ۰/۴۰۵ و  $14/385 \mu\text{m}$  است (King et al., 1992). لیست باندهای مادون قرمز MODIS استفاده شده در این پژوهش به همراه کاربردهای رایج هریک از آنها در جدول ۲ ارائه شده است.

محدوده طیفی وسیع، قدرت تفکیک مکانی بالا، و

## بیشنهاد روشی برای جایگزینی داده‌های تابشی سنجنده MODIS با استفاده از مدل CRTM تصحیح شده در مقیاس محلی

جدول ۲. فهرست باندهای طیفی مادون قرمز MODIS برای محاسبه پروفایل‌های دما و رطوبت جوی

پهنه‌ای باند	باند	کاربرد جوی اصلی
۴/۴۸۲-۴/۵۴۹	۲۵	پروفایل دما
۶/۵۳۵-۶/۸۹۵	۲۷	پروفایل رطوبت
۷/۱۷۵-۷/۴۷۵	۲۸	
۸/۴۰۰-۸/۷۰۰	۲۹	
۱۲/۱۸۵-۱۲/۴۸۵	۳۳	پروفایل دما
۱۲/۴۸۵-۱۲/۷۸۵	۳۴	
۱۲/۷۸۵-۱۴/۰۸۵	۳۵	
۱۴/۰۸۵-۱۴/۳۸۵	۳۶	

مادون قرمز CrIS<sup>۴</sup> (Cross-Track) مربوط به سامانه ملی ماهواره‌ای محیطی با مدار قطبی<sup>۵</sup> (NPOESS)، اطلاعات بیشتری درباره توزیع قائم دما و رطوبت جو فراهم می‌کند (Borbás et al., 2011).

## ۲- مواد و روش‌ها

### ۲-۱- داده و منطقه مورد مطالعه

در پیاده‌سازی‌های انجام‌شده در پژوهش حاضر، برای انجام مدل‌سازی و ارزیابی کارایی مدل، ایستگاه سینوپتیک بندرعباس که در آنها داده‌های رادیوساند در ساعت ۰۰z به صورت نسبتاً مرتب جمع‌آوری می‌شود، انتخاب گردید. شناسه این ایستگاه در سطح جهانی OIKB و شماره ایستگاه ۴۰۸۷۵ است. موقعیت این ایستگاه در یک تصویر MODIS به همراه نمایی از تصویر با قدرت تفکیک مکانی بالا مربوط به این منطقه در شکل ۱ نشان داده شده است. این ایستگاه که در موقعیت جغرافیایی ۲۱° ۵۶' شرقی و ۱۲° ۲۷' شمالی

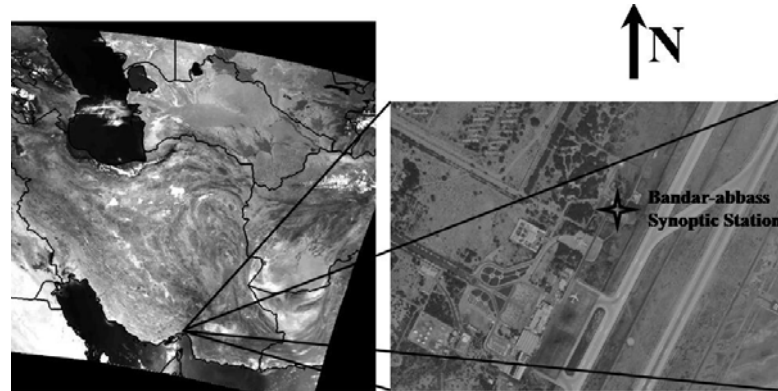
محصولات دما و رطوبت MODIS می‌توانند در کنار دیگر اندازه‌گیری‌های ماهواره‌ای و زمینی در مدل‌های پیش‌بینی هواشناسی عددی، در نواحی‌ای که مشاهدات هواشناسی متداول کم هستند، استفاده شوند. تعیین و ارزیابی محصولات زمینی، اقیانوسی و جوی مختلف، مانند دمای سطح دریا، دمای سطح زمین و خواص هوایی‌های اقیانوسی، نیازمند پروفایل‌های دما و رطوبت و نیز ازن کلی در قدرت تفکیک مکانی MODIS به عنوان ورودی کمکی در مدل‌های عددی است.

قدرت تفکیک مکانی ارتقا یافته MODIS، اندازه‌گیری‌های گرادیان‌های افقی رطوبت، دما و ازن کلی جو را بهتر از سنجنده‌های مشابه آن مانند پروفایل گیر ماهواره محیطی عملیاتی زمین‌آهنگ<sup>۱</sup> (GOES) (قدرت تفکیک مکانی ۱۰ کیلومتر برای استخراج‌های مربوط به یک محدوده دید (FOV)، دستگاه پروفایل گیر مایکروویو پیشرفت<sup>۲</sup> (AMSU) با قدرت تفکیک ۴۵ کیلومتر، پروفایل گیر چگالی شار تابش مادون قرمز با قدرت تفکیک بالا<sup>۳</sup> (HIRS) با قدرت تفکیک ۱۹ کیلومتر و پروفایل گیر مادون قرمز جوی<sup>۴</sup> (AIRS) با قدرت تفکیک ۱۵km مشخص می‌کند (Seemann et al., 2003; Seemann et al., 2006; King et al., 1992). البته پروفایل گیرهای با قدرت تفکیک طیفی بالاتر مانند AIRS و پروفایل گیر

1. Geotationary Operational Environmental Satellite
2. High-Resolution Infrared Radiation Sounder
3. Atmospheric Infrared Sounder
4. Cross-Track Infrared Sounder
5. National Polar-Orbiting Environmental Satellite System

گرفته شد. از این ۱۳ تصویر، ۷ تصویر برای ساخت مدل و ۶ تصویر برای ارزیابی و آزمون کارایی مدل به کار گرفته شد. تاریخ و زمان دریافت هر یک از تصاویر استفاده شده در این پژوهش، در جدول ۳ ارائه شده است.

و در ارتفاع ۱۰ متری از سطح دریا قرار دارد، در سواحل خلیج فارس و در مجاورت تنگه هرمز قرار گرفته است. در این پژوهش ۱۳ تصویر Level1 سنجنده MODIS مستقر بر سکوی Aqua در فرمت HDF که از سایت سنجنده MODIS دریافت شده است، به کار



شکل ۱. سمت چپ: موقعیت شهر بندرباباس در تصویر باند ۱ سنجنده MODIS مستقر بر سکوی Terra در تاریخ ۱۵/۰۶/۰۷/۲۰۰۷؛ سمت راست: موقعیت این ایستگاه در تصویر گوگل ارث

جدول ۳. تصاویر سنجنده MODIS استفاده شده در این پژوهش به منظور ایجاد و آزمون کارایی مدل

	تاریخ اخذ	ساعت اخذ (UTM)
تصاویر استفاده شده برای ایجاد مدل	30 May 2010	21:35
	3 June 2010	22:50
	7 June 2010	22:25
	16 June 2010	22:20
	22 August 2010	22:50
	25 August 2010	21:40
	27 August 2010	21:30
	31 May 2010	22:20
	4 June 2010	21:55
	11 June 2010	22:00
آزمون کارایی مدل	21 August 2010	22:05
	23 August 2010	21:55
	26 August 2010	22:25

## ۲-۲- روش پژوهش

می‌گذارند. برای احتساب از خطاهای ایجادشده به‌دلیل آثار گسیلمندی سطح و پیکسل‌های مختلط و نیز برآورد دقیق از پارامترهای اندازه‌گیری شده با سنجنده MODIS، اندازه‌گیری انجام شده در قسمت عمیق دریا که تا حد ممکن به ساحل نزدیک هستند، به عنوان اندازه‌گیری شار به کار گرفته شدند. به‌دلیل آنکه اندازه‌گیری دمای سطح آب به‌وسیله سنجنده MODIS در بدترین حالت در حد  $5/5^{\circ}\text{C}$  درجه کلوین است (Brown et al., 1999)، اندازه‌گیری انجام شده با سنجنده MODIS در آب‌های عمیق خلیج فارس به عنوان مرجع اندازه‌گیری‌ها در نظر گرفته شد.

برای آنکه تصاویر انتخاب شده از لحاظ زمانی به‌اندازه‌گیری‌های رادیوساند ایستگاه هواشناسی بندرعباس نزدیک باشند، از تصاویر Aqua شب استفاده شد. بدین منظور اختلافات چگالی شارهای محاسبه شده به‌وسیله مدل CRTM با مقادیر اندازه‌گیری شده به‌وسیله سنجنده MODIS مدل‌سازی گردید. آنچاکه مدل CRTM به صورت جهانی مدل‌سازی شده است، کارایی محلی آن چندان مناسب نیست و با استفاده از روش‌های گوناگون می‌توان نتایج حاصل از این مدل را به مقدار واقعی نزدیک‌تر کرد. در پژوهش حاضر با ایده‌گرفتن از مدل‌سازی انجام شده در مدل CRTM برای محاسبه ضرایب جذب و گذردهی و با بهره‌گیری از پیش‌بینی کننده‌های استاندارد استفاده شده به‌وسیله این مدل، کوشش شده است تا نتایج حاصل از مدل CRTM بهمود یابند.

مراحل پیاده‌سازی روش تصحیح چگالی شارهای محاسبه شده به‌وسیله مدل CRTM برای سنجنده MODIS در آب‌های عمیق در ادامه ذکر شده است.

مرحله ۱. داده‌های رادیوساند (شامل پروفایل‌های دما و رطوبت جوی) مربوط به تاریخ‌های گذر تصاویر انتخاب شده برای مدل‌سازی و صحت‌سنجی مدل تهیه گردید و برای لحظه گذر ماهواره درون‌یابی شد. این داده‌ها به عنوان ورودی به مدل CRTM وارد شدند و با

هدف پژوهش حاضر ارائه روشی برای جایگزین کردن تصاویر MODIS با استفاده از محاسبات انجام شده به‌وسیله مدل CRTM است. ورودی این مدل، پروفایل‌های دما و رطوبت اندازه‌گیری شده به‌وسیله ایستگاه‌های رادیوساند است و یکی از خروجی‌های آن که در تحقیق حاضر مورد نظر است، چگالی شار<sup>۱</sup> طیفی باندهای MODIS برحسب  $(\text{m}^{\text{3}}/\text{mm.sr})$  است. به‌دلیل اینکه سنجنده MODIS بر سکوهای Terra و Aqua مستقر است و بهترین حدود ۱۳ و ۱۰ سال در حال تصویربرداری است، امکان از کارافتادن این سنجنده یا مخدوش شدن اطلاعات آن وجود دارد. بنابراین می‌توان جایگزینی برای اطلاعات از دست رفته آن با استفاده از روش‌های فیزیکی ارائه کرد و روش پیشنهادی در این پژوهش یکی از آنهاست. در این پژوهش چگالی شار محاسبه شده به‌وسیله مدل CRTM برای سنجنده MODIS، با استفاده از پروفایل‌های دما و رطوبت اندازه‌گیری شده به‌وسیله رادیوساند در آب‌های عمیق خلیج فارس تصحیح شده است تا چگالی شار مذکور تا حد ممکن به اندازه‌گیری‌های سنجنده MODIS نزدیک‌تر شود. با استفاده از چگالی شار تصحیح شده برای مدل CRTM و در صورت دستیابی به دقت مناسب در مقایسه با شارهای محاسبه شده به‌وسیله سنجنده MODIS، در برخی از باندها می‌توان چگالی شار اندازه‌گیری شده با سنجنده MODIS را ارزیابی کرد و وجود خطای نامتعارف در آن به‌دلیل نویزهای دستگاهی یا وجود ابر در تصاویر را تشخیص داد. در صورت نیاز می‌توان حتی این چگالی شارها را با چگالی شارهای محاسبه شده به‌وسیله مدل CRTM جایگزین کرد.

برای به دست آوردن پروفایل‌های دما و رطوبت، از اندازه‌گیری‌های رادیوساند ایستگاه هواشناسی سینوپتیک بندرعباس استفاده شد و فرض شد که این داده‌ها تقریب مناسبی از داده‌های مربوط به آب‌های عمیق خلیج فارس نزدیک به بندرعباس را در اختیار

پیش‌بینی کننده‌های استاندارد مربوط به مدل CRTM هستند. با استفاده از ۱۱ پیش‌بینی کننده استاندارد به کارفته در مدل CRTM، خطای محاسباتی این مدل در مقایسه با اندازه‌گیری‌های MODIS مدل‌سازی شد. این معادله به صورت ماتریسی به شکل رابطه (۱۵) بازنویسی شد.

رابطه (۱۵)

$$\Delta T = CX$$

و برای به دست آوردن ضرایب از روش کمترین مربعات از رابطه (۱۶) استفاده شد.

$$C = \Delta T X^{-1} (X X^T)^{-1} \quad (16)$$

به این ترتیب بردار  $C$  و درنتیجه ضرایب  $c_{11}$  محاسبه شدند.

**مرحله ۵.** مدل ارائه شده برای داده‌های در نظر گرفته شده به منظور ارزیابی کارایی مدل، اجرا گردید. در این مرحله با استفاده از اندازه‌گیری‌های رادیوساند در نظر گرفته شده برای آزمون کارایی مدل، پیش‌بینی کننده‌های استاندارد برآورد شدند و با بهره‌گیری از رابطه (۱۷)، با افزودن جمله سمت راست معادله مذکور به مقادیر  $T_{\text{CRTM}}$  که مقادیر محاسباتی به وسیله مدل CRTM بود، چگالی شار تصحیح شده مدل برای سنجنده MODIS که با  $T_{\text{Corrected}}$  نمایش داده شده است، محاسبه شد.

رابطه (۱۷)

$$T_{\text{Corrected}} = T_{\text{CRTM}} + \left[ c_0 + \sum_{i=1}^{11} c_i x_i \right]$$

به این ترتیب چگالی شار جدیدی به دست آمد که انتظار می‌رود نسبت به مقادیر محاسباتی به وسیله مدل CRTM به اندازه‌گیری‌های MODIS نزدیک‌تر باشد.

### ۳- نتایج

به منظور ارزیابی روش ارائه شده در این پژوهش، مقادیر RMSE بین چگالی شار محاسبه شده به وسیله مدل

استفاده از این مدل، چگالی شار مربوط به سنجنده MODIS برای سکوی Aqua محاسبه گردید.

**مرحله ۲.** از ایده مطرح شده در مدل CRTM برای محاسبه ضرایب جذب و گذردهی استفاده شد و پیش‌بینی کننده‌های استاندارد به کارفته در آن مطابق با جدول ۱، برای داده‌های رادیوساند منتخب به منظور مدل‌سازی و آزمون کارایی مدل محاسبه شدند. محاسبات انجام‌شده در این مرحله به وسیله برنامه‌نویسی در محیط MATLAB انجام شد و پیش‌بینی کننده‌های استاندارد مورد استفاده در مدل CRTM محاسبه گردیدند.

**مرحله ۳.** تصحیحات رادیومتریک و هندسی روی تصاویر منتخب برای مدل‌سازی و آزمون کارایی مدل انجام گردید. تست ابر روی تصاویر پیاده‌سازی شد و پیکسل‌های مربوط به آسمان صاف استخراج گردید. چگالی شارهای سنجنده MODIS، مربوط به آب‌های عمیق خلیج فارس در نزدیک‌ترین فاصله ممکن به ایستگاه سینوپتیک بندرعباس در پیکسل‌های بدون ابر در تصاویر انتخاب شده برای آموزش و آزمون کارایی الگوریتم، محاسبه گردید. سپس تفاضل مقدار چگالی شار محاسبه شده از سنجنده MODIS برای تصاویر انتخاب شده برای مدل‌سازی و چگالی شار به دست آمده از مدل CRTM برای اندازه‌گیری‌های رادیوساند مربوط به همین تصاویر محاسبه شد.

**مرحله ۴.** با ایده گرفتن از روش ارائه شده در مدل CRTM برای محاسبه ضرایب جذب و گذردهی و با در نظر گرفتن پیش‌بینی کننده‌های استاندارد برای این مدل، رابطه (۱۴) در نظر گرفته شد.

رابطه (۱۴)

$$T_{\text{CRTM}} - T_{\text{MODIS}} = c_0 + \sum_{i=1}^{11} c_i x_i$$

که در آن  $T$  نشان‌دهنده دمای درخشندگی<sup>۱</sup>، اندیس CRTM به معنی محاسبه شده به وسیله CRTM و اندیس MODIS به معنی اندازه‌گیری شده به وسیله MODIS است. مقادیر  $C_i$  ضرایب مجھول و مقادیر  $x_i$

1. Brightness Temperature

## پیشنهاد روشی برای جایگزینی داده‌های تابشی سنجنده در مقیاس محلی

می‌توان در بهترین حالت در محاسبه دمای درخشندگی مربوط به باند ۳۶ سنجنده MODIS، به دقیقی در حد ۲/۸۱ کلوین در مقایسه با داده MODIS رسید. این در حالی است که برای مدل CRTM این وضعیت در باند ۲۹ و RMSE برابر با ۳/۹۸ به دست آمده است. از آنجاکه MODIS در سطح دریا دارای دقیقی در حد ۵/۰ درجه کلوین در مقایسه با واقعیت سطحی است، می‌توان مقادیر اندازه‌گیری شده به وسیله سنجنده MODIS را با دقیقی مناسب معادل اندازه‌گیری سطحی در نظر گرفت. با توجه به نتایج بدست آمده در این بخش، میانگین RMSE چگالی شار برای مدل CRTM در حد ۴/۴۷ و ۰/۳۹ ( $\text{W} / \text{m}^2 \cdot \mu\text{m.sr}$ ) بود که پس از اصلاح مدل به ۰/۳۹ ارتقا یافت. در اینجا تبدیل شده مقادیر مذکور به دمای درخشندگی، اعداد ۶/۴۵ و ۵/۲۷ درجه کلوین را نشان می‌داد که حکایت از بهبود تقریباً مناسبی داشت. بنابراین می‌توان ادعا کرد که دمای درخشندگی تصحیح شده به وسیله مدل پیشنهادی در این پژوهش در مقایسه با واقعیت زمینی، دارای دقت مناسبی است.

CRTM و چگالی شار حاصل از سنجنده MODIS برای تصاویر شب دریافت شده از سکوی Aqua و در تاریخ‌های درنظر گرفته شده، به منظور آزمون کارایی مدل برای باندهای حساس به ساختارهای دما و رطوبت جو محاسبه شد. مقادیر RMSE محاسبه شده بین دمای درخشندگی تصحیح شده با روش ارائه شده در این پژوهش، در مقایسه با چگالی شار حاصل از سنجنده MODIS برای باندهای مذکور محاسبه گردید (جدول ۴).

مقادیر مربوط به RMSE چگالی شار به دمای درخشندگی معادل آنها تبدیل شد، که نتایج آن در جدول ۵ آمده است.

با توجه به نتایج ارائه شده در جدول ۴، ملاحظه می‌شود که بهترین مقدار RMSE به دست آمده برای چگالی شار مربوط به باند ۲۵ و برابر ۰/۱۷ بود که با بهره‌گیری از روش پیشنهادی پژوهش حاضر، این مقدار به ۰/۱۱ ارتقا یافت. در جدول ۵، مقادیر چگالی شار ارائه شده در جدول ۴ به دمای درخشندگی تبدیل شده است که با استفاده از مدل CRTM تصحیح شده

جدول ۴. RMSE بین چگالی شار محاسبه شده به وسیله CRTM و مقادیر اصلاح شده برای این مدل در مقایسه با مقادیر اندازه‌گیری شده با سنجنده MODIS مستقر بر سکوی Aqua برای باندهای طیفی حساس به پروفایل‌های دما و رطوبت جو بر حسب ( $\text{W} / (\text{m}^2 \cdot \mu\text{m.sr})$ )

شماره باند MODIS	۳۶	۳۵	۳۴	۳۳	۲۹	۲۸	۲۷	۲۵	چگالی شار مدل CRTM RMSE
میانگین	۰/۴۷	۰/۳۱	۰/۳۲	۰/۳۹	۰/۴۶	۰/۶۸	۰/۸۷	۰/۵۴	۰/۱۷
	۰/۳۹	۰/۱۴	۰/۲۶	۰/۳۵	۰/۴۱	۰/۵۸	۰/۸۱	۰/۴۹	۰/۱۱

جدول ۵. RMSE بین دمای درخشندگی محاسبه شده با CRTM و مقادیر اصلاح شده برای این مدل در مقایسه با مقادیر اندازه‌گیری شده با سنجنده MODIS مستقر بر سکوی Aqua برای باندهای طیفی حساس به پروفایل‌های دما و رطوبت جو بر حسب درجه کلوین

شماره باند MODIS	۳۶	۳۵	۳۴	۳۳	۲۹	۲۸	۲۷	۲۵	دما درخشندگی مدل CRTM RMSE
میانگین	۶/۴۵	۶/۰۲	۵/۱۷	۵/۶۱	۵/۷۳	۳/۹۸	۸/۸۷	۸/۸۹	۷/۳۰
	۵/۲۷	۲/۸۱	۴/۳۰	۵/۱۸	۵/۱۱	۳/۴۷	۸/۲۴	۸/۰۹	۴/۹۴
									دما درخشندگی مدل CRTM اصلاح شده RMSE

#### ۴- بحث و نتیجه‌گیری

به سکوی Aqua که برای ایجاد مدل انتخاب شده بودند و با استفاده از روش کمترین مربعات، ضرایب مربوط به تبدیل این پیش‌بینی‌کننده‌های استاندارد به اختلاف چگالی شار CRTM و MODIS محاسبه شد. سپس این ضرایب، بر پیش‌بینی‌کننده‌های محاسبه‌شده روی تصاویر انتخاب شده برای ارزیابی کارایی مدل اعمال گردید و خروجی مدل با اندازه‌گیری‌های چگالی شار MODIS مقایسه شد.

با توجه به نتایج بدست آمده، ملاحظه می‌شود که مقدار میانگین RMSE چگالی شار محاسبه‌شده از مدل MODIS با مقدار اندازه‌گیری شده با سنجنده CRTM مستقر بر سکوی Aqua برای تصاویر انتخاب شده برای آزمون کارایی روش پیشنهادی این پژوهش، در تمام باندها ( $m^2 \cdot mm \cdot sr$ ) / ۴۷ ۷ بود که با اعمال تصحیحات ارائه شده در این پژوهش این مقدار به ۰/۳۹ تغییر یافت. دمای درخشندگی میانگین معادل این چگالی شارها نیز به ترتیب ۶/۴۵ و ۵/۲۷ درجه کلوین محاسبه گردید. بنابراین به نظر می‌رسد با استفاده از روش ارائه شده در پژوهش حاضر مقادیر چگالی شار حاصل از مدل CRTM به مقدار چگالی شار اندازه‌گیری شده با سنجنده MODIS نزدیک‌تر می‌شود که این مورد می‌تواند به دلیل محاسبه ضرایب مربوط به مدل CRTM به صورت جهانی باشد. بنابراین با استفاده از این روش می‌توان چگالی شار و درنتیجه دمای درخشندگی را با دقت بیشتری محاسبه کرد. همچنانی می‌توان از این مدل برای ارزیابی چگالی شار محاسبه شده به وسیله سنجنده MODIS استفاده کرد و در صورت لزوم در مواردی نظیر زمانی که داده‌های MODIS دارای نویز بالایی هستند یا تصویر ابری است، یا به دلیل مدت زمان طولانی کار سنجنده MODIS و امکان از کارافتادگی آن، می‌توان داده‌های این سنجنده CRTM را با داده‌های محاسباتی مدل تصحیح شده جایگزین کرد. بروز برخی از عدم قطعیت‌های موجود در این مدل می‌تواند به دلیل نبود اندازه‌گیری‌های مستقیم رادیوساند در آب‌های عمیق و استفاده از داده‌های

در پژوهش حاضر، روشی برای جایگزین کردن چگالی شار حاصل از تصاویر سنجنده MODIS با استفاده از مدل CRTM که یکی از مدل‌های حل معادله انتقال انرژی است، ارائه شد. برای دستیابی به این هدف، چگالی شار محاسبه‌شده با مدل CRTM در مقیاس محلی برای سنجنده MODIS تصحیح گردید. هسته اصلی این مدل، مدل OPTRAN است که از سال ۱۹۷۶ تاکنون هشت نسخه از آن ارائه شده و در هر نسخه بهمودهایی در مقایسه با نسخه‌های قبلی ایجاد شده است. نسخه نهایی این مدل هنوز به صورت مقاله رسمی منتشر نشده ولی پیاده‌سازی‌های مربوط به مدل، در کدهای ذی‌ربط اعمال شده است. به دلیل آنکه ضرایب مربوط به مدل OPTRAN با استفاده از داده‌های جهانی محاسبه شده است، این ضرایب کارایی لازم را در کشور ما ندارند و نیاز است نتایج این مدل برای کشور ما تصحیح شوند. بنابراین پژوهش حاضر به دنبال تحقق این هدف بوده است.

داده‌های مورد استفاده، اندازه‌گیری‌های رادیوساند انجام شده در ایستگاه سینوپتیک بندرعباس به همراه چگالی شارهای محاسبه شده از سنجنده MODIS برای آب‌های عمیق خلیج فارس بودند. استفاده از مشاهدات سنجنده MODIS در آب‌های عمیق به دلیل اجتناب از تأثیرات ناخواسته مربوط به گسلیمندی و پیکسل‌های مختلط و نیز برآورد دقیق پارامترهای اندازه‌گیری شده با سنجنده MODIS بود. در روش پیشنهادی پژوهش حاضر برای نزدیک‌بودن زمان دریافت تصاویر MODIS به اندازه‌گیری‌های رادیوساند، از تصاویر شب مربوط به سنجنده Aqua استفاده شد و با استفاده از ۱۱ پیش‌بینی‌کننده استاندارد نسخه هشتم مدل OPTRAN، سعی در مدل‌سازی اختلاف چگالی شار محاسبه شده به وسیله مدل CRTM و اندازه‌گیری شده با سنجنده MODIS گردید. بنابراین پیش‌بینی‌کننده‌های استاندارد مدل OPTRAN مربوط به نسخه مذکور محاسبه گردید و با استفاده از ۶ تصویر MODIS مربوط

Atmospheric Administration, National Environmental Satellite, Data, and Information Service.

King, M.D., Y.J. Kaufman, W.P. Menzel and D. Tanre, 1992, **Remote Sensing of Cloud, Aerosol, and Water Vapor Properties From the Moderate Resolution Imaging Spectrometer (MODIS)**, IEEE Transactions on Geoscience and Remote Sensing, 30(1), PP. 2-27.

Kleespies, T.J., P. van Delst, L.M. McMillin and J. Derber, 2004, **Atmospheric Transmittance of an Absorbing Gas. 6. OPTRAN Status Report and Introduction to the NESDIS/NCEP Community Radiative Transfer Model**, Applied optics 43(15), PP. 3103-3109.

Li, J., 1994, **Temperature and Water Vapor Weighting Functions From Radiative Transfer Equation with Surface Emissivity and Solar Reflectivity**, Advances in Atmospheric Sciences, 11(4), PP. 421-426.

Li, J., W.W. Wolf, W.P. Menzel, W. Zhang, H.L. Huang and T.H. Achtor, 2000, **Global Soundings of the Atmosphere from ATOVS Measurements: The algorithm and validation**, Journal of Applied Meteorology, 39(8), PP. 1248-1268.

Lynch, R., J.L. Moncet and X. Liu, 2009, **Efficient Nonlinear Inversion for Atmospheric Sounding and Other Applications**, Applied optics 48(10), PP. 1790-1796.

بندرعباس برای مناطق آبی عمیق باشد. خطای ذاتی موجود در داده‌های رادیوساند و اندازه‌گیری‌های MODIS از دیگر منابع عدم قطعیت موجود در این پژوهش است.

#### - منابع

Borbas, E.E., S.W. Seemann, A. Kern, L. Moy, J. Li, L.E. Gumley and W.P. Menzel, 2011, **MODIS Atmospheric Profile Retrieval Algorithm Theoretical Basis Document (version 7)**, University of Wisconsin-Madison.

Brown, O.B., P.J. Minnett, R. Evans, E. Kearns, K. Kilpatrick, A. Kumar, R. Sikorski and A. Závody, 1999, **MODIS Infrared Sea Surface Temperature Algorithm Algorithm Theoretical Basis Document Version 2.0**, University of Miami, NAS5-31361.

Chen, Y., Y. Han, P. Van Delst and F. Weng, 2010, **On Water Vapor Jacobian in Fast Radiative Transfer Model**, Journal of Geophysical research 115(D12): D12303.

Fleming, H.E. and L.M. McMillin, 1977, **Atmospheric Transmittance of an Absorbing Gas. 2: A Computationally Fast and Accurate Transmittance Model for Slant Paths at Different Zenith Angles**, Applied optics, 16(5), PP. 1366-1370.

Han, Y., P. van Delst, Q. Liu, F. Weng, B. Yan, R. Treadon and J. Derber, 2006, **JCSDA Community Radiative Transfer Model (CRTM): Version 1**, US Dept. of Commerce, National Oceanic and

- Marquardt, D.W., 1963, **An Algorithm for Least-squares Estimation of Nonlinear parameters**, Journal of the society for Industrial and Applied Mathematics, 11(2): 4, PP. 441-31.
- McMillin, L., L. Crone, M. Goldberg and T. Kleespies, 1995a, **Atmospheric Transmittance of an Absorbing gas. 4. OPTRAN: a computationally fast and accurate transmittance model for absorbing gases with fixed and with variable mixing ratios at variable viewing angles**, Applied optics, 34(27), PP. 6269-6274.
- McMillin, L., L. Crone and T. Kleespies, 1995b, **Atmospheric Transmittance of an Absorbing Gas. 5. Improvements to the OPTRAN Approach**, Applied optics 34(36), PP. 8396-8399.
- McMillin, L.M. and H.E. Fleming, 1976, **Atmospheric Transmittance of an Absorbing Gas: A Computationally Fast and Accurate Transmittance Model for Absorbing Gases with Constant Mixing Ratios in Inhomogeneous Atmospheres**, Applied optics 15(2), PP. 358-363.
- McMillin, L.M., H.E. Fleming and M.L. Hill, 1979, **Atmospheric Transmittance of an Absorbing Gas. 3: A Computationally Fast and Accurate Transmittance Model for Absorbing Gases With Variable Mixing Ratios**, Applied optics, 18(10), PP. 1600-1606.
- McMillin, L.M., X. Xiong, Y. Han, T.J. Kleespies and P. Van Delst, 2006, **Atmospheric Transmittance of an Absorbing gas. 7. Further improvements to the OPTRAN 6 approach**, Applied optics, 45(9), PP. 2028-2034.
- Rodgers, C., 2000, **Inverse Methods for Atmospheric Sounding: Theory and Practice**, World Scientific.
- Rozanov, V.V. 2006, **Adjoint radiative transfer equation and inverse problems**, Light Scattering Reviews, PP. 339-390.
- Seemann, S.W., E.E. Borbas, J. Li, W.P. Menzel and L.E. Gumley, 2006, **MODIS Atmospheric Profile Retrieval Algorithm Theoretical Basis Document (version 6)**, University of Wisconsin-Madison.
- Seemann, S.W., J. Li, W.P. Menzel and L.E. Gumley, 2003, **Operational Retrieval of Atmospheric Temperature, Moisture, and ozone from MODIS Infrared Radiances**, Journal of Applied Meteorology, 42(8), PP. 1072-1091.
- Xiong, X. and L.M. McMillin, 2005, **Alternative to the Effective Transmittance Approach for the Calculation of Polychromatic Transmittances in Rapid Transmittance Models**, Applied optics, 44(1), PP. 67-76.